



## مطالعه تاثیر فرآیند ماشین کاری تخلیه الکتریکی به کمک ارتعاشات فرacoتی بر روی تنش‌های پسماند و سختی سطح آلیاژ Ti-6Al-4V

محمد رضا شبگرد<sup>۱\*</sup>، بهنام خسروزاده<sup>۲</sup>

۱- دانشیار، مهندسی مکانیک، دانشگاه تبریز، تبریز

۲- دانشجوی دکتری، مهندسی مکانیک، دانشگاه تبریز، تبریز

\*تبریز، صندوق پستی ۵۱۶۶۶۱۶۴۷۱

### چکیده

یکی از فرآیندهای ماشین کاری معمول و پرکاربرد برای ماشین کاری فلزات و آلیاژهای سخت که با روش‌های ماشین کاری سنتی قابلیت ماشین کاری پایینی دارند، ماشین کاری تخلیه الکتریکی است. با توجه به ماهیت ترمومالکتریکی این فرآیند، تغییرات خواص متالورژیکی و مکانیکی سطح ماشین کاری شده و ایجاد تنش‌های پسماند در قطعات اجتناب نپذیر است. در این پژوهش ماشین کاری آلیاژ تیتانیوم Ti-6Al-4V با فرآیند تخلیه الکتریکی به کمک ارتعاشات فرacoتی ابزار انجام شده است و تاثیر ارتعاشات فرacoتی ابزار بر بازده ماشین کاری و سلامت سطح تولیده شده از جمله میکروترک‌های ایجاد شده، تنش‌های پسماند و سختی سطح ارزیابی شده است. سطح نمونه‌های ماشین کاری شده با میکروسکوپ الکترونی رویشی عکس‌برداری شده تا اندازه و توزیع میکروترک‌های سطحی مطالعه گردد؛ تنش‌های پسماند ناشی از فرآیند در امتداد عمق سطوح ماشین کاری شده، با روش نانواینداشت‌شن ارزیابی شده و سختی سطوح ماشین کاری شده با استفاده از دستگاه میکروسختی سنج اندازه-گیری شده است. نتایج نشان می‌دهد اعمال ارتعاشات فرacoتی بازده فرآیند ماشین کاری را افزایش داده (میانگین افزایش ۹۰٪ در نرخ براوه برداری)، باعث کاهش مقدار و اندازه میکروترک‌های سطح شده، توزیع تنش‌های پسماند را تغییر داده و سطح آن را (قریباً ۱۷٪) کاهش داده است؛ افزایش سختی سطح در ماشین کاری تخلیه الکتریکی با ارتعاشات فرacoتی تقریباً ۱۳٪ بیشتر از فرآیند سنتی تخلیه الکتریکی است.

### اطلاعات مقاله

مقاله پژوهشی کامل

دریافت: ۱۵ تیر ۱۳۹۵

پذیرش: ۲۳ تیر ۱۳۹۵

ارائه در سایت: ۲۴ مرداد ۱۳۹۵

کلید واژگان:

EDM

ارتعاشات فرacoتی

سلامت سطح

تیتانیوم

تنش پسماند

## Study on the effect of ultrasonic assisted electrical discharge machining process on residual stress and hardness of Ti-6Al-4V alloy

Mohammadreza Shabgard<sup>\*</sup>, Behnam Khosrozadeh

Department of Mechanical Engineering, Tabriz University, Tabriz, Iran  
\* P.O.B. 5166616471, Tabriz, Iran, mrshabgard@tabrizu.ac.ir

### ARTICLE INFORMATION

Original Research Paper

Received 05 July 2016

Accepted 13 July 2016

Available Online 14 August 2016

Keywords:

EDM  
ultrasonic vibration  
surface integrity  
titanium  
residual stress

### ABSTRACT

Electrical discharge machining is one of the most common and widely used machining processes for machining hard metals and alloys which has low machinability by traditional machining methods. Due to the thermoelectric nature of this process, changes in metallurgical and mechanical properties of machined surface and development of residual stresses in components are inevitable. In this research machining of Ti-6Al-4V titanium alloy is conducted by ultrasonic assisted electrical discharge machining process and the effects of ultrasonic vibration of tool on the machining efficiency, surface integrity- such as surface micro-cracks, residual stress and surface hardness have been evaluated. Machined surface was imaged by scanning electron microscopy imaging to study the size and distribution of surface micro-cracks. Residual stresses along the depth of the machined surface, evaluated using Nano indentation technique and hardness of discharged surface are measured using a micro hardness measuring instrument. The results show that applying ultrasonic vibration increases electrical discharge machining process efficiency (about 90%), reduces the amount and size of surface micro-cracks, changes residual stress distribution and decreases the amount of it (average 17%). Increase of surface hardness caused by ultrasonic assisted electrical discharge machining process is 13% more than the traditional electrical discharge machining process.

فرآیند ابزار و قطعه کار در فاصله مشخصی از یکدیگر و در داخل سیال

دی الکتریک قرار گرفته و انرژی الکتریکی بین آنها اعمال می‌گردد. فرآیند

ماشین کاری تخلیه الکتریکی را می‌توان به چهار مرحله تقسیم کرد: اعمال انرژی

الکتریکی، شکست دی الکتریک، فرآیند جرقه‌زنی یا اسپارک و انفجار و

ماشین کاری مواد رسانا و نیمه رسانا مورد استفاده قرار می‌گیرد. در این

### -۱- مقدمه

ماشین کاری تخلیه الکتریک<sup>۱</sup> فرآیند براده برداری ترمومالکتریکی است که برای

<sup>۱</sup> Electrical discharge machining (EDM)

Please cite this article using:

M. R. Shabgard, B. Khosrozadeh, Study on the effect of ultrasonic assisted electrical discharge machining process on residual stress and hardness of Ti-6Al-4V alloy, *Modares Mechanical Engineering*, Vol. 16, No. 8, pp. 169-176, 2016 (in Persian)

برای ارجاع به این مقاله از عبارت ذیل استفاده نمایید:

تنش های فشاری تبدیل می گردد به انرژی جرقه ها بستگی دارد [12].

مامالس و همکارانش توزیع تنش های پسماند در ماشین کاری فولاد میکروآلیازی با روش ماشین کاری تخلیه الکتریکی با استفاده از تکنیک پراش اشعه ایکس را مطالعه کرده اند. نتایج آنها نشان می دهد تنش های پسماند بزرگی که اندازه آنها در حد استحکام نهایی ماده است، در لایه های داخلی سطح ماشین کاری شده رخ می دهد و بزرگی آن مستقل از انرژی جرقه ها است. افزایش انرژی جرقه ها باعث افزایش عمقی می شود که در آن بیشترین مقدار تنش های پسماند رخ می دهد؛ این موضوع به دلیل ایجاد ترک های سطحی بیشتر در انرژی های بالاتر است که منجر به آزادسازی تنشهای پسماند نزدیک به سطح می گردد [13].

گو و همکاران تاثیر ورودی های فرآیند ماشین کاری تخلیه الکتریکی را بر روی تنش های پسماند ایجاد شده بر روی فولاد AISI D2 با استفاده از تکنیک رگرسیون تحلیل کرده اند. نتایج نشان داد که جریان تخلیه در مقایسه با زمان روشی پالس، تاثیر بیشتری بر روی تنش های پسماند ایجاد شده دارد. در این فرآیند عیوب بسیار ریزی در سطح ماشین کاری شده ایجاد می شود که محل تمرکز تنش بوده و باعث کاهش استحکام قطعات ماشین کاری شده می گردد [14].

تنش های پسماند زیر سطحی و تغییرات ریزاساختاری فولاد ابزار در فرآیند ماشین کاری تخلیه الکتریکی توسط غانم و همکاران بررسی شده است. تنش های پسماند اندازه گیری شده با روش پراش اشعه ایکس مشخص کرد که تنش های پسماند نزدیک به استحکام نهایی قطعه در حدود 50 میکرومتر در زیر سطح ماشین کاری شده قرار دارد. سختی سطح ماشین کاری شده تقریباً 4 برابر سختی ماده پایه بوده که این به علت تغییرات فازی و نفوذ کربن ناشی از تجزیه دی الکتریک پایه نفتی است [15].

کاساس و همکاران با بررسی خواص خستگی و شکست قطعات WC-CO ماشین کاری شده به روش تخلیه الکتریکی به نتیجه رسیده اند که علت اصلی کاهش استحکام آنها ایجاد تنش های پسماند ناشی از فرآیند است؛ و برای این قطعات که در مععرض بارهای خستگی قرار می گیرند، بایستی عملیاتی به منظور حذف یا کاهش سطح تنش های پسماند انجام گردد [16]. غانم و همکاران با بررسی عمر خستگی فولاد ابزار بعد از فرآیند پرداختکاری تخلیه الکتریکی گزارش داده اند تنش های پسماندی به بزرگی 750 MPa در زیر سطح تولید شده که در عمق 120 میکرومتری به تنش های پسماند فشاری تبدیل می شوند؛ با حذف تنش های مذکور و اعمال تنش های پسماند فشاری عمر خستگی این قطعات تا 70% افزایش می یابد [17].

یکی از محدودیت ها یا معایب فرآیند ماشین کاری تخلیه الکتریکی راندمان پایین آن و کیفیت نامناسب سطح ماشین کاری شده می باشد، که استفاده از این روش ماشین کاری را برای برخی کاربردها محدود می کند. برای رفع محدودیت ها و افزایش راندمان از تکنیک هایی مانند اعمال ارتعاشات فرماصوتی، افزودن نانوپودرها به دی الکتریک، اعمال میدان های مغناطیسی، ماشین کاری تخلیه الکتریکی خشک و اعمال چرخش به ابزار استفاده می گردد. با توجه به پیشینه تحقیقات انجام گرفته در خصوص تنش پسماند در این فرآیند، بیشتر به توزیع تنش پسماند و تاثیر پارامترهای مختلف بر آن پرداخته شده است و مطالعات انجام شده در خصوص کاهش و برطرف کردن آن در حین فرآیند بسیار کم و یا اصلا وجود ندارد؛ از جمله تحقیقات محدود انجام شده برای کنترل و کاهش تنش پسماند میتوان به موارد زیر اشاره کرد.

جدایش مواد از الکترودها [1]. از دید فیزیکی در این فرآیند انرژی الکتریکی از طریق انجام تخلیه های الکتریکی بین الکترودها به انرژی حرارتی تبدیل می شود. با توجه به اعمال کنترل بر روی انرژی الکتریکی و الکترودها، این فرآیند یک روش ماشین کاری با دقت و قابلیت اعتماد بالا می باشد. انرژی حرارتی تولید شده در بین الکترودها کانال پلاسمایی ایجاد می کند که دمای آن بین  $8000^{\circ}\text{C}$  تا  $12000^{\circ}\text{C}$  است که باعث ذوب و حتی تبخیر الکترودها می گردد. با قطع انرژی الکتریکی و اتمام زمان روشی پالس، دما و فشار کانال پلاسمایی به سرعت افت کرده و باعث جدایش کسری از مواد مذاب از قطعه کار و ابزار می گردد. در این زمان چرخش سیال دی الکتریک باعث کاهش دمای سریع الکترودها و دفع براده ها از محل ماشین کاری می شود [2].

با توجه به ماهیت فرآیند ماشین کاری تخلیه الکتریکی خصوصیات مکانیکی قطعه کار از جمله سختی، استحکام و چقرمگی تاثیری در قابلیت ماشین کاری آن ندارد؛ بنابراین این روش برای ماشین کاری موادی که قابلیت ماشین کاری پایینی دارند از جمله فولادهای قالب، سرامیک ها و مواد کامپوزیتی، مناسب است. در فرآیند مذکور با توجه به این که تماس مستقیم بین ابزار و قطعه کار اتفاق نمی افتد، پدیده هایی نامطلوبی مانند تنش های مکانیکی ناشی از ماشین کاری و ارتعاشات حذف می گردد. علی رغم مزایایی که برای این روش ماشین کاری غیرمنتظری بیان گردید؛ محدودیت ها و معایبی نیز در این روش وجود دارد که از جمله آنها می توان به نرخ برادری پایین، سایش ابزار بالا، تحت تاثیر قرار گرفتن سطح و لایه های زیر سطحی در اثر حرارت ورودی و تشکیل لایه نازک و ترد در سطح ماشین کاری شده اشاره کرد [4.3].

تأثیر منفی فرآیند ماشین کاری تخلیه الکتریکی بر برخی از قطعات تولید شده با این تکنیک عیوبی در آنها ایجاد می کند که نیاز به برطرف کردن آنها در برخی از کاربردها ضروری است. از جمله این موارد به صنایع حساسی مانند هوافضایی توان اشاره کرد. یکی از پر کاربردترین مواد استفاده شده در صنعت هوافضایی آبیاژ تیتانیوم Ti-6Al-4V می باشد [5]. خواصی مانند استحکام بالا، سبکی وزن، خواص خزشی مناسب و مقاومت خوردگی مناسب باعث شده از آبیاژ Ti-6Al-4V در قطعات حساسی مانند موتور هواپیما و سازه های فضایی استفاده گردد. با توجه به حساسیت عملکرد این قطعات قابلیت اعتماد به آنها موضوع بسیار مهمی بوده و نیاز به داشتن سلامت سطح بالا و کنترل مداوم آن بسیار حیاتی است [7.6].

یکی از مشخصه های فرآیند تخلیه الکتریکی وجود میکروترک ها در سطح قطعات ماشین کاری شده است. این ترکها به دلیل تنش های حرارتی و تغییر فازهای ناشی از انجماد سریع بعد از تخلیه های الکتریکی است که معمولاً به داخل لایه ذوب مجدد نفوذ کرده و خواص سایشی، عمر خستگی و مقاومت خوردگی قطعات را تحت تاثیر قرار می دهند [9.8].

تأثیر دیگر فرآیندهای ماشین کاری حرارتی ایجاد تنش های پسماند بعد از اتمام ماشین کاری است. این تنش های حاصل تغییرات شدید حرارتی ناشی از بارگذاری های سریع حرارتی، انقباض های انجمادی همراه با تغییر شکل های پلاستیکی و تغییرات فازی می باشند [11.10].

اکمکچی و همکارانش با بررسی تنش های پسماند ناشی از فرآیند ماشین کاری تخلیه الکتریکی گزارش داده اند این تنش های نوچ کششی بوده و در لایه های نزدیک به سطح ماشین کاری شده بیشترین مقدار را دارند که نزدیک به استحکام حد نهایی ماده است؛ در امتداد عمق تنش های پسماند به سرعت کاهش یافته و به تنش های پسماند فشاری تبدیل می گردد. عمقی که در آن بیشترین تنش های پسماند وجود دارد و عمقی که این تنش های به

جدول 2 خواص فیزیکی و مکانیکی قطعه کار و ابزار

Table 2 Physical and mechanical properties of work piece and tool materials

Cu	Ti-6Al-4V	خواص مکانیکی
W/mK 401	6.7 W/mK	هدایت حرارتی
110 GPa	113 GPa	مدول الاستیک
1084 °C	1660 °C	نقطه ذوب
16.78 μΩ.cm	178 μΩ.cm	مقاومت الکتریکی
8.9 g/cm³	4.43 g/cm³	چگالی

ارتعاشات فرماحتی<sup>3</sup> با توان 200 W و فرکانس ارتعاش 20 kHz با ایجاد امواج فرماحتی با دامنه  $\mu\text{m}$  15 استفاده گردید. از متتمرکز کننده آلومینیومی به منظور تقویت دامنه ارتعاشات استفاده گردید. بهمنظور کنترل فرآیند و مقایسه شکل پالس ها در حالت اعمال ارتعاشات فرماحتی به ابزار و بدون آن از یک مدار الکترونیکی استفاده شد تا شکل پالس های ایجاد شده در حین ایجاد شده مبنای برای کنترل پایداری و بازده ماشین کاری است. تصاویر شماتیک و واقعی از انجام آزمایش ها در "شکل 1 و 2" نشان داده شده است. آزمایش های ماشین کاری طبق اصول طراحی آزمایشات و براساس مدل طرح عاملی کامل<sup>4</sup>, 4 سطح جریان پالس، 4 سطح زمان روشنی پالس، و 2 سطح برای ابزار (با و بدون اعمال ارتعاشات فرماحتی) انجام شدند. سایر

کریمر و همکاران تاثیر ارتعاش فرماحتی بر کارایی فرآیند مذکور را مطالعه کرده اند. نتایج کار آنها نشان می دهد که ارتعاشات فرماحتی کارایی این فرآیند را بهتر کرده و تنفس های پسماند حاصله در یک عمق مشخص کمتر از تنفس های پسماند فرآیند معمولی است، اما تغییری در تنفس های پسماند سطحی ایجاد نگردید. همچنین ارتعاشات فرماحتی تاثیر مثبتی بر روی عمر خستگی و کاهش ضخامت لایه حرارت داشت [11].

استفاده از ارتعاشات فرماحتی در فرآیند ماشین کاری تخلیه الکتریکی سیمی توسط گو و همکاران انجام شده است. در این حالت با افزایش بازده و نرخ براده بارداری صافی سطح نیز بهبود یافته، همچنین مشخص گردید که تنفس های پسماند در اثر اعمال ارتعاشات فرماحتی کاهش یافته است [18]. با مطالعه پیشینه تحقیقی مشاهده می گردد که بررسی تنفس پسماند و سختی سطح که از مهمترین فاکتورهای موثر بر سلامت سطح است، در فرآیند ماشین کاری تخلیه الکتریکی کمتر تحقیق و بررسی شده است؛ همچنین تحقیقاتی در خصوص تاثیر فرآیندهای ترکیبی با این روش بر روی مولفه های ذکر شده انجام نشده است. به همین منظور در این تحقیق از آلیاژ تیتانیوم Ti-6Al-4V که یکی از آلیاژ های پر کاربرد صنایع پر محاطره می باشد، استفاده شده است. کاربردهای آلیاژ مذکور مستلزم داشتن سلامت سطح بالایی است وجود تنفس های پسماند و تغییر متالوژیکی سطح در فرآیندهای ماشین کاری بر استحکام خستگی و خوردگی و سایر مولفه های عملکردی آن تاثیر نامطلوب دارد. در این پژوهش سعی شده است ماشین کاری آلیاژ تیتانیوم Ti-6Al-4V با فرآیند ماشین کاری تخلیه الکتریکی به کمک ارتعاشات فرماحتی<sup>1</sup> ابزار انجام شده و تاثیر آن بر بازده ماشین کاری و سلامت سطح تولیده شده به ویژه تنفس های پسماند و سختی ارزیابی گردد.

## 2- مواد و روش ها

نمونه های لازم برای انجام عملیات ماشین کاری از میلگردهای آلیاژ تیتانیوم Ti-6Al-4V به قطر 20 mm تهیه شدند. این نمونه ها در ارتفاع 10 mm به وسیله دستگاه برش سیمی بریده شده و با استفاده از دستگاه سنگزنی سطح قطعات پولیش شدند. در انتهای مرحله آماده سازی، نمونه ها به مدت دو ساعت در کوره عملیات حرارتی در دمای 500°C گذاشته شدند و بعد از آن به آرامی در دمای محیط خنک شدند تا عملیات حرارتی تنفس زدایی بر روی آنها انجام گردد و اطمینان حاصل گردد که نمونه ها قبل از عملیات ماشین کاری بدون تنفس باشند [19]. ابزار مسی برای انجام آزمایش ها انتخاب گردید که از میلگردهای به قطر 10 mm با عملیات تراش کاری تهیه شدند. برای اتصال ابزار مسی به کلگی مخصوص فرماحتی برای انجام آزمایش های تخلیه الکتریکی به کمک ارتعاشات فرماحتی، عملیات رزو کاری روی آنها انجام گردید. ترکیب درصد عنصر آلیاژی قطعه کار و مشخصات فیزیکی و مکانیکی قطعه کار و ابزار به ترتیب در جداول 1 و 2 ارائه شده است [18].

آزمایش های ماشین کاری تخلیه الکتریکی با استفاده از دستگاه اسپارک<sup>2</sup> با مولد ایزوپالس انجام گردید. برای اعمال ارتعاشات به ابزار از دستگاه مولد

جدول 1 ترکیب درصد عنصر تشکیل دهنده آلیاژ Ti-6Al-4V

Table 1 Chemical composition of Ti-6Al-4V alloy in %

Ti	Al	V	Fe	O	C	N	H
89.464	6.08	4.02	0.22	0.18	0.02	0.01	0.0053

<sup>1</sup> Ultrasonic assisted electrical discharge machining (USEDM)<sup>2</sup> Charmilles Roboform 200

شکل 1 تجهیزات و تنظیمات مربوط به انجام آزمایش ها

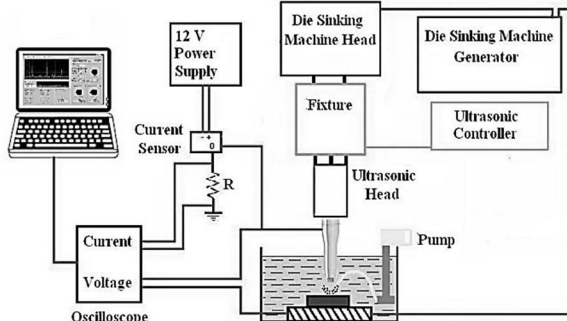
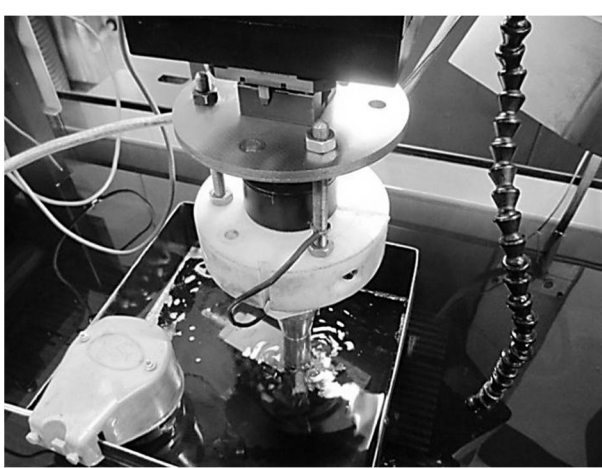


Fig. 1 Schematic set up of experiments

شکل 1 تجهیزات و تنظیمات مربوط به انجام آزمایش ها



شکل 2 تصویر تجهیزات استفاده شد برای انجام آزمایش های ماشین کاری

شکل 2 تصویر تجهیزات استفاده شد برای انجام آزمایش های ماشین کاری

<sup>3</sup> Bandelin HD 2200<sup>4</sup> Full factorial

فرآیند بر روی نرخ برادهبرداری به راحتی امکان پذیر است. نسبت نرخ برادهبرداری در مقابل زمان روشنی پالس در شدت جریان های متفاوت در "شکل 3" ارائه شده است و نسبت نرخ برادهبرداری در مقابل شدت جریان جرقه در زمان های مختلف روشنی پالس در "شکل 4" آورده شده است. همان طوری که از تصاویر 3 و 4 مشخص می گردد اعمال ارتعاشات فرماحتی باعث افزایش نرخ برادهبرداری در همه تنظیمات ماشین کاری می گردد (نسبت نرخ برادهبرداری  $> 1$  و افزایش میانگین 90% نرخ برادهبرداری).

دلایل این افزایش را در موارد زیر می توان خلاصه کرد:

- امواج فرماحتی حاوی انرژی و اندازه حرکت هستند که در اثر برخورد آنها را به ذرات داخل کانال پلاسما انتقال داده و باعث ایجاد جریان اکوستوالکتریک<sup>8</sup> می گردد [20]. تحریک ذرات بی بار توسط امواج اکوستیکی باعث افزایش یونیزاسیون ناشی از برخورد شده و به توسعه کانال پلاسما سرعت بیشتری می دهد. تلاطم ایجاد شده در اثر ارتعاشات باعث جدایش هرگونه ذرات چسبیده به سطوح الکترودها شده و ازین رو منجر به کاهش پالس های آرک و اتصال کوتاه می گردد.
- اعمال انرژی فرماحتی به کانال پلاسما باعث افزایش انرژی ذرات بردار شده و در نتیجه شکست دی الکتریک و شروع تخلیه های الکتریکی با سرعت بیشتری رخ می دهد، کاهش زمان های اثلاف شده بین برقراری جریان تا شکست دی الکتریک باعث افزایش نرخ برادهبرداری می گردد [21].
- ارتعاش ابزار با فرکانس فرماحتی امواج فشاری و کششی در داخل سیال ایجاد می کند؛ بنابراین جریان ها و حباب های بسیار ریزی در کانال پلاسما توسعه می یابد که شبیه به یک پمپ عمل کرده و در دفع براده ها و محصولات ماشین کاری از محل جرقه ها بسیار موثر می یابند. با تجدید به موقع دی الکتریک پالس های مدار باز و اتصال کوتاه کاهش یافته و پایداری ماشین کاری افزایش می یابد.
- امواج فرماحتی در مرحله انبساط باعث پرتاپ مواد مذاب از چاله مذاب شده و در مرحله انقباض، افت فشار ناشی از آن در داخل کانال پلاسما باعث ایجاد نیروی مکشی شده و پدیده جوشش حجمی را در چاله مذاب ایجاد می کند و باعث انفجار مواد مذاب داخل چاله مذاب می شود. از این رو مقدار ماده خارج شده از حفره های تخلیه بیشتر می گردد [23.22].

با توجه به "شکل 3" مشاهده می گردد که روند موجود در داده ها در شرایط ماشین کاری جریان 12 آمپر و زمان روشنی پالس 400 میکروثانیه با مقیمه متفاوت است و در این شرایط نسبت نرخ برادهبرداری افزایش زیادی دارد؛ همچنین مقدار نسبت نرخ برادهبرداری در "شکل 4" در زمان روشنی پالس 25 میکروثانیه و در شدت جریان های 6 و 12 آمپر بسیار زیاد است و با بقیه شرایط ماشین کاری تفاوت دارد. در جریان های کم، ابزار و قطعه کار خیلی به هم دیگر نزدیک می شوند تا امکان یونیزه شدن کانال پلاسما ایجاد گردد، با این حال اگر زمان روشنی پالس هم بیشتر باشد به دلیل ابانته شدن محصولات ماشین کاری در این فضای کوچک امکان شستشو و تمیز شدن محل تخلیه ها محدود می شود و درصد ایجاد پالس های غیر مغاید آرک و اتصال کوتاه بیشتر شده و نرخ برادهبرداری شدیدا کاهش می یابد. با اعمال ارتعاشات فرماحتی به ابزار و افزایش فاصله الکترودها شرایط ماشین کاری به شکل قابل ملاحظه ای بهبود یافته و نرخ برادهبرداری افزایش قابل توجهی پیدا

<sup>8</sup> Acousto-Electric Current

متغیرهای ورودی و پارامترهای تنظیمی آزمایش ها و دستگاه اسپارک در جدول 3 آورده شده است.

وزن قطعات قبل و بعد از هر آزمایش توسط ترازوی دیجیتالی (با دقت 0.0001 g) اندازه گیری شده و با استفاده از رابطه (1) نرخ برادهبرداری محاسبه گردید.

$$MRR = \left( \frac{M_1 - M_2}{\rho t} \right) \times 10^6 \quad (1)$$

در این رابطه  $MRR^1$  مقدار نرخ برادهبرداری (mm<sup>3</sup>/min)،  $M_1$  وزن قطعه کار قبل از ماشین کاری (g)،  $M_2$  وزن قطعه بعد از ماشین کاری (g)،  $t$  مدت زمان ماشین کاری (min) و  $\rho$  چگالی قطعه کار (gr/cm<sup>3</sup>) است.

برای بررسی و مقایسه بهتر تاثیر ارتعاشات فرماحتی بر روی نرخ براده برداری، از نسبت نرخ براده برداری<sup>2</sup> در فرآیند ماشین کاری تخلیه الکتریکی به کمک ارتعاشات فرماحتی نسبت به فرآیند ماشین کاری تخلیه الکتریکی استفاده شده که این نسبت به صورت رابطه (2) تعریف شده است:

$$MRR Ratio = \frac{MRR(USEDM)}{MRR(EDM)} \quad (2)$$

به منظور بررسی سطوح ایجاد شده در فرآیندهای ماشین کاری، تصاویر میکروسکوپ الکترونی روبشی<sup>3</sup> تهیه گردید.

به منظور اندازه گیری تنفس پسماند از روش نانو ایندنتیشن<sup>4</sup> مدل تریبواسکوپ<sup>5</sup> TS 75 با نفوذگر برکوویچ<sup>6</sup> هرمی شکل از جنس الماس به قطر میانگین 100 نانومتر، رزلوشن بار کمتر از 1 نانومتر و رزلوشن جابجایی یا نفوذ 0.0004 نانومتر استفاده شد. در این تکنیک نفوذگر الماسی با نیروی مشخصی به سطح قطعه نفوذ کرده، و در مدت بارگذاری و باربرداری مقادیر نیرو و جابجایی یا عمق نفوذ به صورت پیوسته ثبت می گردد. براساس اختلاف سطح تماس واقعی نفوذگر با سطح نمونه در نمونه های دارای تنفس پسماند و بدون تنفس پسماند و منحنی بارگذاری- جابجایی تنفس پسماند اندازه گیری می شود. اندازه گیری ها از فاصله 10 میکرومتری سطح شروع شده (به منظور جلوگیری از شکست لبه و آسیب دیدگی نفوذگر) و در فواصل 10، 15 و 20 میکرومتری نسبت به یکدیگر اندازه گیری ها انجام شده است.

### 3- نتایج و بحث

#### 3-1- بررسی تاثیر ارتعاشات فرماحتی بر روی نسبت نرخ برادهبرداری

با استفاده از رابطه نسبت نرخ برادهبرداری، بررسی تاثیر ارتعاشات فرماحتی در

جدول 3 متغیرهای ورودی و پارامترهای تنظیمی دستگاه اسپارک

متغیر	سطح آزمایش
زمان روشنی پالس (μs)	400, 100, 25, 6.4
شدت جریان (A)	48, 24, 12, 6
زمان خاموشی پالس (μs)	6.4
ولتاژ مدار باز (v)	200
فاصله گپ (μm)	50
نوع دی الکتریک	روغن فلاکس الاف <sup>7</sup>

<sup>1</sup> Material Removal Rate

<sup>2</sup> MRR Ratio

<sup>3</sup> Scanning Electron Microscope (SEM)

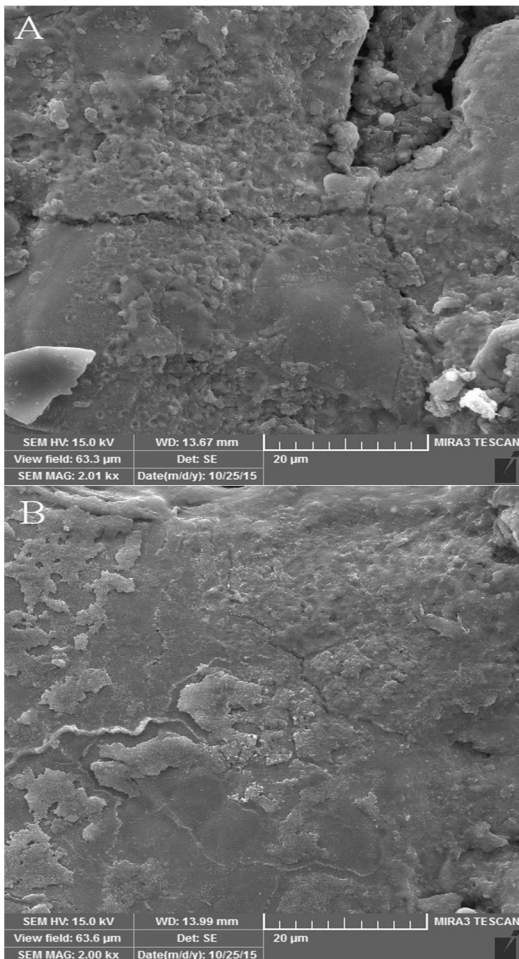
<sup>4</sup> Nanoindentation

<sup>5</sup> TriboScope TS75

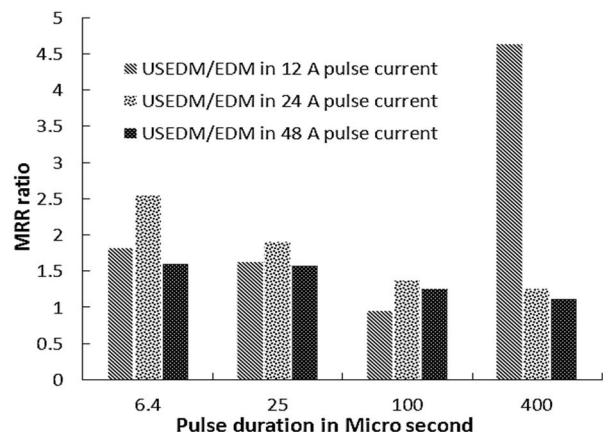
<sup>6</sup> Berkovich

<sup>7</sup> Oil Flux ELF

باعث کاهش اندازه و مقدار ترکهای تولید شده است. افزایش شدت جریان جرقه از 12 به 24 آمپر باعث افزایش اندازه ترکها شده است که این به علت افزایش انرژی ورودی به قطعه کار بوده که باعث افزایش حجم ماده مذاب شده و به تبع آن مقدار ماده مذاب باقی مانده روی سطح که از چاله مذاب خارج نمی‌گردد، افزایش یافته و انقباضهای حین انجماد و سرد شدن ماده دوباره منجمد شده<sup>1</sup> بیشتر می‌شود و ترکهای بیشتر و بزرگتری ایجاد می‌گردد. اعمال ارتعاشات فرماصوتی باعث افزایش نرخ براده‌برداری می‌گردد؛ همان‌طوری که در بخش 1-3 به آن اشاره شد این افزایش هم ناشی از افزایش مقدار انرژی ورودی به قطعه کار و همچنین به علت افزایش حجم ماده بیرون انداخته شده از چاله‌های مذاب در اثر افت فشار ناشی از امواج فرماصوتی و پدیده جوش حجمی است، بنابراین با فرض یکسان بودن حجم ماده ذوب شده در چاله مذاب، وجود ارتعاشات فرماصوتی باعث می‌شود کسر بیشتری از آن مذاب به بیرون انداخته شود و مقدار ماده مذاب باقیمانده در چاله‌ها کمتر می‌شود و در اثر انقباضات انجمادی و کاهش حجم ناشی از کاهش دمای ماده دوباره منجمد شده، تنفسهای حرارتی کمتر شده و از مقدار و اندازه ترکها کاسته می‌شود.

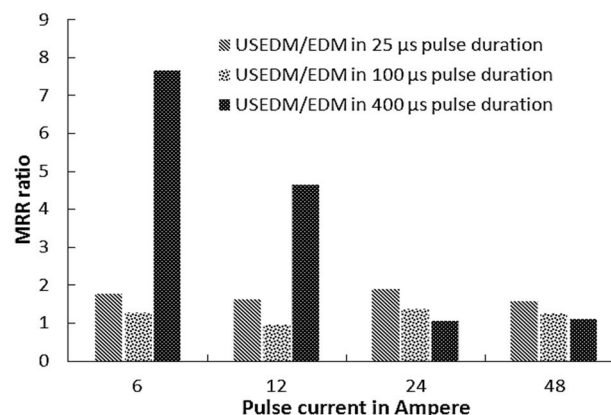


شکل 5 تصاویر میکروسکوپ الکترونی سطحی حاصل از فرآیندهای (A) ماشین کاری تخلیه الکتریکی (B) ماشین کاری تخلیه الکتریکی با ارتعاشات فرماصوتی ابزار (شدت جریان 12 آمپر، زمان روشنی پالس 100 میکروثانیه)



شکل 3 نسبت نرخ براده‌برداری در مقابل زمان روشنی پالس در شدت جریان‌های

متغیر تخلیه



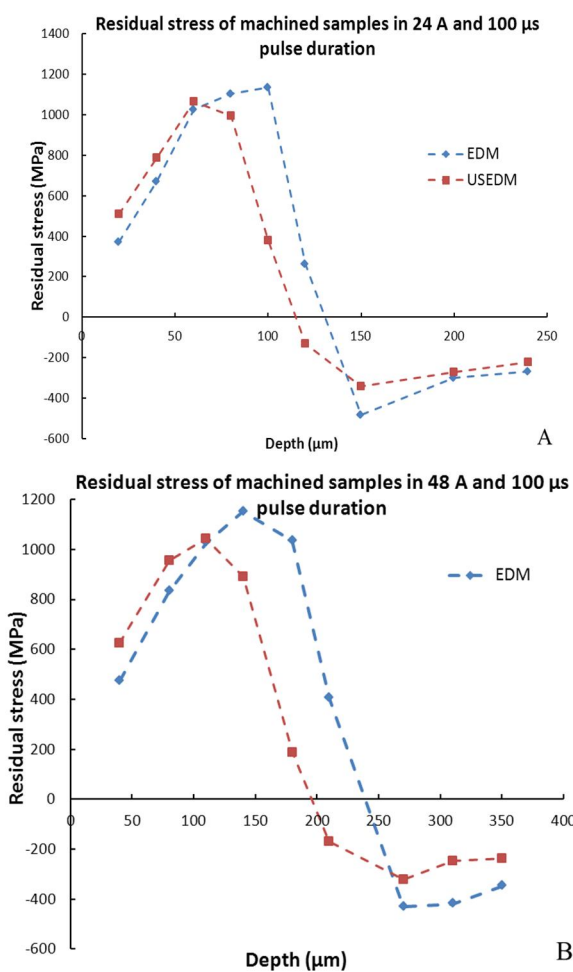
شکل 4 نسبت نرخ براده‌برداری در مقابل شدت جریان پالس در زمان‌های مختلف

روشنی پالس

می‌کند، به همین دلیل نسبت نرخ براده‌برداری در شرایط مذکور بسیار بالا است. همچنین با توجه به این که نمودارهای "شکل 3" و "شکل 4" نسبت نرخ براده‌برداری را نشان می‌دهند و با در نظر گرفتن اینکه در جریان کم و زمان روشنی پالس طولانی، ماشین کاری آلیاژ فوق با روش تخلیه الکتریکی سنتی بسیار ناپایدار بوده و نرخ براده‌برداری بسیار کمی دارد که اعمال ارتعاشات فرآیند را بسیار پایدار تر می‌کند (در مقایسه با جریان‌های بیشتر) به همین علت عدد نسبت نرخ براده‌برداری با توجه به تعریف آن (رابطه 2) در شرایط مذکور عدد بزرگتری می‌شود [25,24].

**3-2- بررسی تأثیر ارتعاشات فرماصوتی بر روی میکروترکهای سطح**  
میکروترکهای سطحی ایجاد شده در فرآیندهای ماشین کاری، فاکتور مهمی در تعیین سلامت سطح قطعات تولید شده دارند. تعداد، اندازه و توزیع میکروترکهای نقش تعیین کننده در کارکرد، عمر خستگی، خوردگی و حتی مقدار تنفسهای پسماند موجود در قطعات را دارند. تأثیر اعمال ارتعاشات فرماصوتی به ابزار در فرآیند ماشین کاری تخلیه الکتریکی بر روی میکروترکهای ایجاد شده در سطح در سطح دارند. تأثیر اعمال ارتعاشات فرماصوتی به ابزار در فرآیند ماشین کاری تخلیه الکتریکی در شدت جریان‌های 12 و 24 آمپر به ترتیب در "شکل‌های 5" و "شکل‌های 6" ارائه شده است. همان‌طوری که از این شکل‌ها مشخص می‌گردد ارتعاشات فرماصوتی

<sup>1</sup> Recast

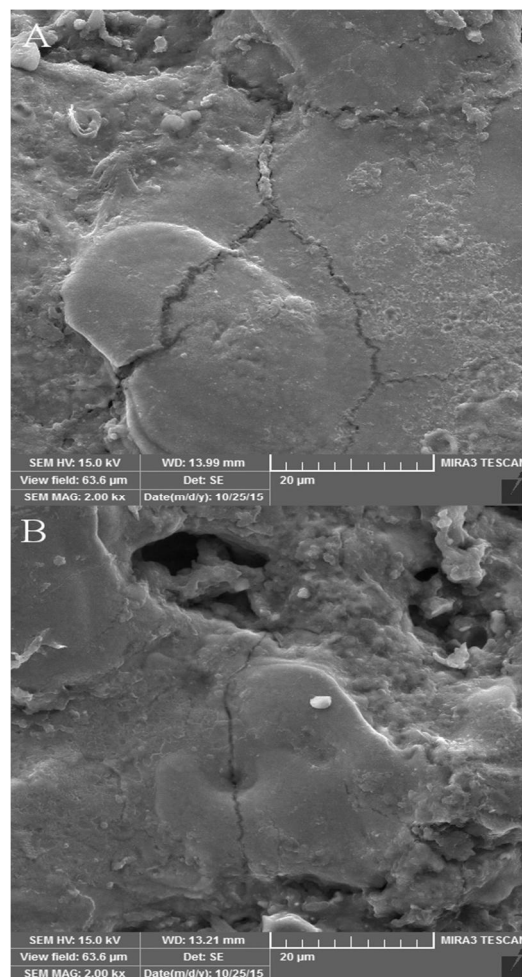


**Fig. 7** Residual stress distribution of machined samples A) 24 A pulse current and 100  $\mu$ s pulse duration, B) 48 A pulse current and 100  $\mu$ s pulse duration

شکل 7 توزیع تنش پسماند نمونه های ماشین کاری شده (A) شدت جریان 24 آمپر زمان روشنی پالس 100 میکروثانیه (B) شدت جریان 48 آمپر زمان روشنی پالس 100 میکروثانیه

تخلیه الکتریکی به علت وجود ترکهای سطحی بیشتر در این روش نسبت به روش ماشین کاری تخلیه الکتریکی با ارتعاشات فرماصوتی میباشد، به علت آزاد شدن تنش های پسماند با ایجاد ترک از مقدار آنها کاسته میشود. کاهش تنش های پسماند فرآیند همراه شده با ارتعاشات (کاهش 17%) به علت افزایش خروج ماده مذاب از چاله ها و کاهش حجم لایه دوباره منجمد شده در اثر وجود امواج الاستیک فرماصوتی است که در بخش 3-1 به ان اشاره شده است؛ در این شرایط تنش های پسماند ناشی از انقباض انجمادی لایه نازکتر، کاهش مییابد. در "شکل 7-B" در مقایسه با "شکل 7-A" تنش های پسماند در عمق بیشتری به تنش های پسماند فشاری تبدیل شده و در نهایت پراکنده میشوند که این موضوع بهدلیل افزایش انرژی ورودی به قطعه کار در اثر بیشتر بودن شدت جریان جرقه ها است که حجم ماده مذاب بیشتری در حفره های تخلیه الکتریکی بر جای میگذارد و به تبع آن عمق لایه دوباره منجمد شده افزایش یافته و تنش های پسماند تا عمق بیشتری از سطح قطعه کار امتداد مییابند.

**3-4-3** بررسی تاثیر ارتعاشات فرماصوتی بر روی میکروسختی سطح نمودار تغییرات میکروسختی سطح ماشین کاری شده در شدت جریان های



**Fig. 6** SEM micrograph of produced surfaces in processes A) EDM, B) USEDPM, in 24 A pulse current and 100  $\mu$ s pulse duration

شکل 6 تصاویر میکروسکوپ الکترونی سطوح حاصل از فرآیندهای (A) ماشین کاری تخلیه الکتریکی (B) ماشین کاری تخلیه الکتریکی با ارتعاشات فرماصوتی ابزار (شدت جریان 24 آمپر، زمان روشنی پالس 100 میکروثانیه)

**3-3-3** بررسی تاثیر ارتعاشات فرماصوتی بر روی تنش های پسماند در بسیاری از فرآیندهای حرارتی ایجاد تنش های پسماند کششی در سطح قطعات اجتناب ناپذیر است؛ به منظور برطرف کردن این تنش های بعد از فرآیند عملیات تكمیلی بر روی قطعات انجام میگردد. در فرآیند تخلیه الکتریکی تنش های پسماند کششی در سطح قطعات ایجاد میشود که بر عملکرد نهایی و عمر خستگی آنها تاثیر منفی دارد. تنش های پسماند ایجاد شده در هر دو فرآیند در زمان روشنی پالس 100 میکروثانیه و جریان های 24 و 48 آمپر به ترتیب در "شکل های 7-A" و "7-B" ارائه شده است. همان طوری که از هر دو تصویر مشخص است تنش های پسماند در نزدیکی سطح مقدار مشخصی دارد که با افزایش عمق این مقدار افزایش یافته و به حداقل مقدار میرسد، بعد از آن با شبیه تندی کاهش یافته و به تنش های پسماند فشاری تبدیل میگردد و در نهایت به مقدار صفر نزدیک میگردد. تفاوت هایی که بین این نمودارها وجود دارند بدین شرح است که در ابتدای نمودارها تنش پسماند فرآیند همراه شده با ارتعاشات بزرگتر از فرآیند معمولی میباشد ولی مقدار حداقل کششی و حداقل فشاری تنش پسماند در فرآیند ماشین کاری تخلیه الکتریکی بیشتر است.

کمتر بودن مقدار تنش پسماند در نزدیک سطح در فرآیند ماشین کاری

میکروترکهای ایجاد شده در سطح کاهش یافته است.

- 3 پروفیل توزیع تنفس های پسماند در امتداد عمق در فرآیند ماشین کاری تخلیه الکتریکی با ارتعاشات فرماحتی ابزار با فرآیند ماشین کاری تخلیه الکتریکی سنتی متفاوت است. در ابتدای نمودارها، تنفس پسماند فرآیند همراه با ارتعاشات بزرگتر از فرآیند سنتی میباشد ولی مقادیر حداکثر کششی و حداقل فشاری تنفس پسماند در فرآیند ماشین کاری تخلیه الکتریکی سنتی بیشتر است.
- 4 در اثر وجود ارتعاشات فرماحتی و افزایش پدیده انتقال کربن ناشی از دی الکتریک به سطح ذوب شده قطعه کار، افزایش سختی سطح ماشین کاری شده در فرآیند همراه با ارتعاشات بیشتر از افزایش سختی فرآیند تخلیه الکتریکی سنتی است.

## 5- مراجع

- [1] Q. H. Zhang, R. Du, J. H. Zhang, Q. B. Zhang, An investigation of ultrasonic-assisted electrical discharge machining in gas, *International Journal of Machine Tools & Manufacture*, Vol. 46, pp. 1582–1588, 2006.
- [2] H. C. Tsai, B. H. Yan, F.Y. Huang, EDM performance of Cr/Cubased composite electrodes, *International Journal of Machine Tool and Manufacture*, Vol. 43, pp. 245–252, 2003.
- [3] V. Srivastava, P. M. Pandey, Effect of process parameters on the performance of EDM process with ultrasonic assisted cryogenically cooled electrode, *Journal of Manufacturing Processes*, Vol. 14, pp. 393–402, 2012.
- [4] Y. C. Lin, F. P. Chuang, A. C. Wang, H. M. Chow, Machining Characteristics of Hybrid EDM with Ultrasonic Vibration and Assisted Magnetic Force, *International Journal Of Precision Engineering And Manufacturing*, Vol. 15, No. 6, pp. 1143-1149, 2014.
- [5] A.R. Nikravan, F. Kolahan, Statistical analysis and optimization of process parameters for cutting rate and surface roughness in wire cut machining of Ti-6Al-4V alloy, *Modares Mechanical Engineering*, Vol. 15, No. 9, pp. 141-152, 2015. (in Persian) (فارسی)
- [6] L. Li, L. Feng, X. Bai, Z. Y. Li, Surface characteristics of Ti-6Al-4V alloy by EDM with Cu-SiC composite electrode, Accessed on 20 October 2015; *Applied Surface Science*, In Press, Accepted Manuscript.
- [7] B. Khosrozadeh, M. R. Shabgard, Investigating the effect of simultaneous ultrasonic vibration of tool and addition of SiO nanoparticles into the dielectric on machining characteristics of titanium alloy Ti-6Al-4V in EDM process, *Proceedings of the Advanced Machining and Machine Tools Conference*, Vol. 15, No. 13, pp. 318-324, 2015. (in Persian) (فارسی)
- [8] L. C. Lin, L. C. Lee, Y. S. Wong, H. H. Lu, Solidification microstructure of electro discharge machined surfaces of tool steels, *Materials Science and Technology*, Vol. 7, pp. 239-249, 1991.
- [9] H. Sidhom, F. Ghanem, T. Amadou, G. Gonzalez, C. Braham, Effect of electro discharge machining (EDM) on the AISI316L SS white layer microstructure and corrosion resistance, *International Journal of Advanced Manufacturing Technology*, Vol. 65, pp. 141–153, 2013.
- [10] C. K. Biswas, M. K. Pradhan, FEM of Residual stress of EDMed Surfaces, *Advanced Materials Research*, Vols. 383-390, pp. 872-876, 2012.
- [11] D. Kremer, J. L. Lebrun, B. Hosari, A. Moisan, Effects of Ultrasonic Vibrations on the Performances in EDM, *Annals of the CIRP*, Vol. 38, No. 1, pp. 199-202, 1989.
- [12] B. Ekmekci, A. E. Tekkaya, A. Erden, A semi-empirical approach for residual stresses in electric discharge machining (EDM), *International Journal of Machine Tools & Manufacture*, Vol. 46, pp. 858–868, 2006.
- [13] G. Mamalis, G. C. Vosniakos, N. M. Vacevaniadis, Residual Stress Distribution and Structural Phenomena of High-Strength Steel Surfaces Due to EDM and Ball-Drop Forming, *Annals of the CIRP*, Vol. 37, No. 1, pp. 531-535, 1988.
- [14] Y.H. Guu, H. Hocheng, C.Y. Chou, C.S. Deng, Effect of electrical discharge machining on surface characteristics and machining damage of AISI D2 tool steel, *Materials Science and Engineering*, Vol. A358, pp. 37-43, 2003.
- [15] F. Ghanem, C. Braham, M.E. Fitzpatrick, and H. Sidhom, Effect of Near-Surface Residual Stress and Microstructure Modification From Machining on the Fatigue Endurance of a Tool Steel, *Journal of Materials Engineering and Performance*, Vol. 11, No. 6, pp. 631-639, 2002.
- [16] B. Casas, Y. Torres, L. Llanes, Fracture and fatigue behavior of electrical-discharge machined cemented carbides, *International Journal of Refractory Metals & Hard Materials*, Vol. 24, pp. 162–167, 2006.
- [17] F. Ghanem, N.B. Fredj, H. Sidhom, C. Braham, Effects of finishing processes on the fatigue life improvements of electro-machined surfaces of tool steel, *International Journal of Advanced Manufacturing Technology*, Vol. 52, pp. 583–595, 2011.
- [18] Z.N. Guo, T.C. Lee, T.M. Yue, W.S. Lau, A Study of Ultrasonic-aided Wire Electrical Discharge Machining, *Journal of Materials Processing Technology*, Vol. 63, pp. 823-828, 1997.

متفاوت در هر دو فرآیند در "شکل 8" نشان داده شده است.

همان طوری که از این شکل مشخص می‌گردد در اثر این فرآیندها سختی سطح افزایش زیادی داشته است. سختی آلیاژ Ti-6Al-4V در مقیاس ویکرز در حدود Hv 350 می‌باشد که بعد از فرآیندهای ماشین کاری ذکر شده این مقدار به Hv 800 هم رسیده است. افزایش سختی سطح باعث کاهش مقاومت به ضربه می‌گردد، که در برخی از کاربردهای بسیار مخرب است [26]. دلیل اصلی افزایش سختی سطح تغییرات متالوژیکی ایجاد شده در لایه ذوب مجدد و نفوذ کربن به داخل این لایه است که با تشکیل فاز کاربید باعث افزایش سختی سطح نهایی می‌گردد [27]. مقدار افزایش سختی در فرآیند ماشین کاری تخلیه الکتریکی معمولی با ارتعاشات فرماحتی بیشتر از فرآیند ماشین کاری تخلیه الکتریکی معمولی می‌باشد (به طور میانگین افزایش 13%) که البته در شدت جریان 24 آمپر تفاوت چندانی با هم ندارند. دلیل افزایش بیشتر سختی در فرآیند همراه شده با ارتعاشات ناشی از افزایش انتقال کربن تجربه شده از دی الکتریک پایه نفتی است. امواج الاستیک حاصل از ارتعاشات انتقال این ذرات به سطح مذاب را تسریع کرده [28]. فاز کاربید بیشتری تشکیل شده و در نتیجه سختی هم بیشتر افزایش پیدا می‌کند. اما در جریان 24 آمپر به علت افزایش گپ بین الکترودها امواج فرماحتی انتشار یافته از الکترود ابزار میرا شده و انرژی آنها کمتر می‌شود و کمکی به انتقال ذرات کربن به داخل سطح مذاب نمی‌کند در نتیجه در این شرایط سختی سطح حاصل از هر دو فرآیند تقریباً یکسان است.

## 4- نتیجه گیری

در این پژوهش تاثیر فرآیند ماشین کاری تخلیه الکتریکی به کمک ارتعاشات فرماحتی بر روی تنفس های پسماند و سختی سطح آلیاژ Ti-6Al-4V، انجام شده و نتایج حاصل را در موارد زیر می‌توان خلاصه کرد:

- 1- اعمال ارتعاشات فرماحتی به ابزار باعث افزایش نرخ براده برداری در همه تنظیمات ماشین کاری ذکر شده می‌گردد؛ مقدار این افزایش در شدت جریان های پایین که همراه با زمان روشنی پالس بالاست، زیاد است.

- 2- در اثر وجود ارتعاشات فرماحتی در کanal پلاسمای اندازه و مقدار

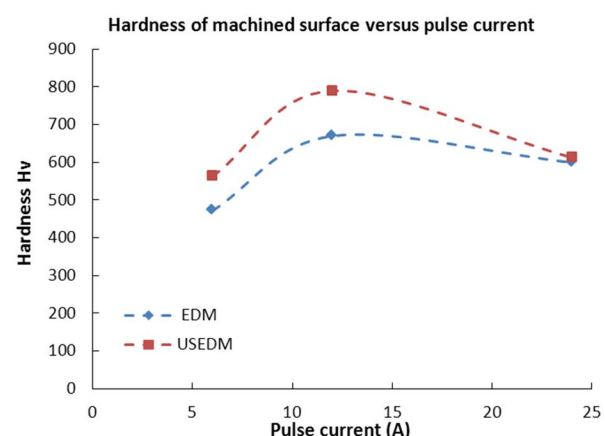


Fig. 8 Hardness of machined surface in different pulse current and 100  $\mu$ s pulse duration

شکل 8 سختی سطح ماشین کاری شده در شدت جریان های مختلف و در زمان روشنی پالس 100 میکروثانیه

- frequency, *Journal of Materials Processing Technology*, Vol. 68, pp. 83-88, 1997.
- [25] T. Endo, T. Tsujimoto, K. Mitsui, Study of vibration-assisted micro-EDM- The effect of vibration on machining time and stability of discharge, *Precision Engineering*, Vol. 32 pp. 269-277, 2008.
- [26] R. Oliniki, P. A. Beltrao, Influence of Correlation between Electrical Discharge Machining Parameters with the Formation of Surface Defect's in Products Machined by EDM, *Advanced Materials Research*, Vol. 223, pp. 950-959, 2011.
- [27] Y. Zhang, Y. Liu, R. Ji, B. Cai, Study of the recast layer of a surface machined by sinking electrical discharge machining using water-in-oil emulsion as dielectric, *Applied Surface Science*, Vol. 257, pp. 5989-5997, 2011.
- [28] S. Coleman, S. Roy, Effect of ultrasound on mass transfer during electrodeposition for electrodes separated by a narrow gap, *Chemical Engineering Science*, Vol. 113, pp. 35-44, 2014.
- [19] G. Lütjering, J. C. Williams, *Titanium*, 2nd edition, pp. 115-125, Berlin, Springer, 2007.
- [20] V.S.R. Murthy, P.K. Philip, PULSE TRAIN ANALYSIS IN ULTRASONIC ASSISTED EDM, *International Journal of Machine Tools & Manufacture*, Vol. 27, No. 4, pp. 469-477, 1987.
- [21] H. Takeshi, H. Masanori, O. Toshiaki, Mechanical vibration assisted plasma etching for etch rate and anisotropy improvement, *Precision Engineering*, Vol. 26, No. 4, pp. 442-447, 2002.
- [22] A. Abdullah, M. R. Shabgard, Effect of ultrasonic vibration of tool on electrical discharge machining of cemented tungsten carbide (WC-Co), *International Journal of Advanced Manufacturing Technology*, Vol. 38, pp. 1137-1147, 2008.
- [23] M. R. Shabgard, H. Kakolvand, M. S. Seyedzavar, R. M. Shotorbani, Ultrasonic assisted EDM: Effect of the workpiece vibration in the machining characteristics of FW4 Welded Metal, *Frontiers of Mechanical Engineering*, Vol. 6, No. 4, pp. 419-428, 2011.
- [24] J.H. Zhang, T.C. Lee, W.S. Lau , X. Ai, Spark erosion with ultrasonic